

*Projektowanie Efektywnych Algorytmów*  
*Projekt*  
*16/11/2021*

252690    Karolina Nogacka

*(2) Programowanie dynamiczne*

<i>spis treści</i>	<i>strona</i>
<a href="#"><u>Sformułowanie zadania</u></a>	2
<a href="#"><u>Metoda</u></a>	3
<a href="#"><u>Algorytmy</u></a>	4
<a href="#"><u>Dane wejściowe i wyjściowe</u></a>	5
<a href="#"><u>Procedura badawcza</u></a>	7
<a href="#"><u>Wyniki</u></a>	8
<a href="#"><u>Analiza wyników i wnioski</u></a>	10

## **1. Sformułowanie zadania:**

Zadanie polega na stworzeniu algorytmu znajdującego rozwiązanie problemu komiwojażera opartego o metodę programowania dynamicznego.

### **Problem komiwojażera (TSP - Traveling salesman problem):**

Zakładając, że ktoś (np. kurier, sprzedawca, listonosz) ma zbiór miast/domów do odwiedzenia szukamy drogi, która zawierać będzie wszystkie wyżej wymienione miejsca i będzie drogą najkrótszą (aby listonosz nie musiał się nachodzić).

Innymi słowy problem ten jest zagadnieniem optymalizacyjnym, polegającym na znalezieniu minimalnego cyklu Hamiltona w pełnym grafie ważonym. Wszystkich cykli w takim grafie będzie  $n!$  (w związku z czym złożoność dla większych grafów będzie szybko rosła), pewne z nich będą w rzeczywistości tymi samymi cyklami, zaczynającymi się jednak w różnych węzłach grafu.

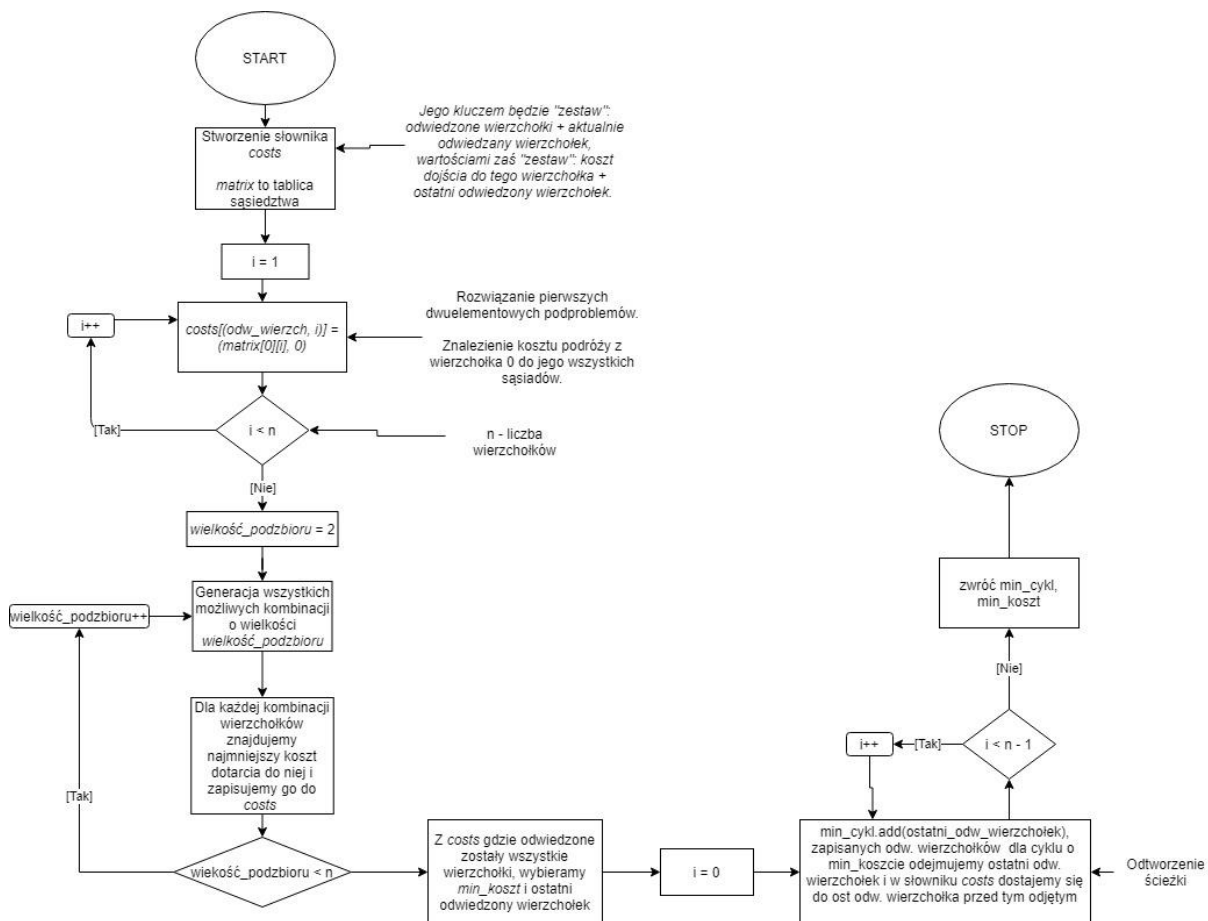
## 2. Metoda:

Programowanie dynamiczne, polega na rozwiązaniu danego problemu poprzez rozwiązanie mniejszych podproblemów. Metodę tą można stosować, gdy podproblemy dają rozwiązać się w analogiczny do siebie sposób. Rozwiązania podproblemów zapamiętujemy, aby móc je wykorzystać w kolejnych etapach rozwiązywania problemu (przy rozwiązywaniu coraz większych podproblemów).

Oczekujemy złożoności czasowej algorytmu opartego o tą metodę na poziomie  $O(n^2 2^n)$ , a pamięciowej  $O(n 2^n)$ .

### 3. Algorytmy:

Dla problemu komiwojażera metoda programowania dynamicznego odnajdzie wszystkie możliwe cykle Hamiltona i wybierze ten o najmniejszym koszcie. W przeciwieństwie do algorytmu opartego na przeglądzie zupełnym, algorytm oparty o programowanie dynamiczne nie będzie dla każdego cyklu liczył jego kosztu zupełnie od podstaw. Algorytm skorzysta z obliczonych wcześniej kosztów dla elementów cyklu (podproblemy).



Rysunek 1. Schemat blokowy algorytmu znajdującego rozwiązanie problemu komiwojażera, opartego na metodzie programowania dynamicznego.

#### 4. Dane wejściowe i wyjściowe

Co zawiera program badawczy:

- Plik wykonywalny tsp\_dp.exe

Aby działał poprawnie musi być w jednym katalogu z plikiem config.ini i pliki tekstowe z grafami.

- Pliki tsp\_6\_1.txt, tsp\_6\_2.txt, tsp\_10.txt, tsp\_12.txt, itd.

Zawierają grafy w postaci macierzy sąsiedztwa, które będziemy badać.

Źródło: <http://jaroslaw.mierzwa.staff.iiar.pwr.wroc.pl/pea-stud/tsp/> [data dostępu: 13.11.2021, 17:48]

- Pliki gr21.tsp, ulysses22.tsp, br17.atsp, itd.

Zawierają grafy w postaci macierzy sąsiedztwa, które będziemy badać. Źródło: <http://jaroslaw.rudy.staff.iiar.pwr.wroc.pl/pea.php> [data dostępu: 13.11.2021, 17:54]

- Plik inicjujący config.ini

```
1  [data]
2  tsp_6_1 = tsp_6_1.txt
3  tsp_6_2 = tsp_6_2.txt
4  tsp_10 = tsp_10.txt
5  tsp_12 = tsp_12.txt
6  tsp_13 = tsp_13.txt
7  tsp_14 = tsp_14.txt
8  tsp_15 = tsp_15.txt
9  tsp_17 = tsp_17.txt
10 tsp_6_1_opti = 132; [0, 1, 2, 3, 4, 5, 0]
11 tsp_6_2_opti = 80; [0, 5, 1, 2, 3, 4, 0]
12 tsp_10_opti = 212; [0, 3, 4, 2, 8, 7, 6, 9, 1, 5, 0]
13 tsp_12_opti = 264; [0, 1, 8, 4, 6, 2, 11, 9, 7, 5, 3, 10, 0]
14 tsp_13_opti = 269; [0, 10, 3, 5, 7, 9, 11, 2, 6, 4, 8, 1, 12, 0]
15 tsp_14_opti = 282; [0, 10, 3, 5, 7, 9, 13, 11, 2, 6, 4, 8, 1, 12, 0]
16 tsp_15_opti = 291; [0, 12, 1, 14, 8, 4, 6, 2, 11, 13, 9, 7, 5, 3, 10, 0]
17 tsp_17_opti = 39; [0, 11, 13, 2, 9, 10, 1, 12, 15, 14, 5, 6, 3, 4, 7, 8, 16, 0]
```

```
19 gr21 = gr21.tsp
20 ulysses22 = ulysses22.tsp
21 gr24 = gr24.tsp
22 fri26 = fri26.tsp
23 bays29 = bays29.tsp
24 ;att48 = att48.tsp
25 ;eil51 = eil51.tsp
26 ;berlin52 = berlin52.tsp
27 br17 = br17.atsp
28 ftv33 = ftv33.atsp
29 ftv35 = ftv35.atsp
30 ftv38 = ftv38.atsp
31 p43 = p43.atsp
33 gr21_opti = 2707
34 ulysses22_opti = 7013
35 gr24_opti = 1272
36 fri26_opti = 937
37 bays29_opti = 2020
38 ;att48_opti = 10628
39 ;eil51_opti = 426
40 ;berlin52_opti = 7542
41 br17_opti = 39
42 ftv33_opti = 1286
43 ftv35_opti = 1473
44 ftv38_opti = 1530
45 p43_opti = 5620
47 [result]
48 tsp_dp = tsp_dp.csv
49 tsp_bs = tsp_bs.csv
50 tsp_bf = tsp_bf.csv
51 tsp_df = tsp_df.csv
```

Rysunek 2. Zawartość pliku config.ini

Pierwsze zdjęcie zawiera nazwy plików ze strony <http://jaroslaw.mierzwa.staff.iiar.pwr.wroc.pl/pea-stud/tsp/>, oraz optymalne rozwiązania dla grafów w nich zawartych. Dwa pozostałe zdjęcia to nazwy i optymalne rozwiązania dla grafów ze strony <http://jaroslaw.rudy.staff.iiar.pwr.wroc.pl/pea.php> oraz nazwy plików wyjściowych.

Sekcja [data] zawiera nazwę plików wejściowych z grafami.

Sekcja [result] zawiera nazwę pliku wyjściowego.

- Skrypty tsp\_dp.py, my\_writer.py:

Skrypt tsp\_dp.py jest głównym plikiem programu, zawiera on wywołania metod z innych plików. my\_writer.py zapewnia poprawny zapis do plików wynikowych.

- Plik tsp\_df\_out-analiza.csv:

Zawiera zbiorcze dane i wykresy.

## 5. Procedura badawcza

- **Kolejność wykonywanych badań:**

- Pobieranie danych z pliku inicjującego,
- Wczytanie grafów z plików wejściowych,
- Uruchomienie badań dla grafów.

Wynikiem działania programu (zapisywanym do pliku) jest czas znalezienia rozwiązania dla każdej instancji, długość najkrótszego cyklu, oraz sam cykl (w postaci listy węzłów).

Wyniki zostały opracowane po 20-krotnym uruchomieniu programu (algorytm wykonał się 20 razy dla każdej instancji). Jako górne ograniczenie działania programu przyjęto 1 godzinę. Podczas tej godziny program maksymalnie zdołał policzyć wynik dla instancji gr24.tsp (25 min trwała praca nad tą jedną instancją).

Z dodatkowych instancji badania zostały wykonane dla: gr21.tsp, ulysses22.tsp, gr24.tsp, br17.atsp.

Program nigdy nie wyczerpał pamięci komputera, jednak jego praca ponad 1 godzinę znacznie zakłócała prace komputera, w związku z czym algorytm został przerwany.

- **Specyfikacja sprzętu:**

- a. Procesor Intel i7-10510U, 1.80GHz – 2.30 GHz
- b. 16,0 GB pamięci ram
- c. System Windows 10 Home Edition

- **Metoda badania zużycia pamięci:**

```
201 def work(name, matrix):
202     print("Licze dla: " + name)
203     start_time = time.time()
204     path, cost = held_karp2(matrix)
205     end_time = time.time() - start_time
206
207     tsp_result = [name, len(matrix), end_time, memory(), cost, path]
208     # tsp_result = [name, len(matrix), end_time, min(paths_costs), paths[low_cost_index]]
209     return tsp_result
```

Rysunek 2. Metoda pomiaru czasu.

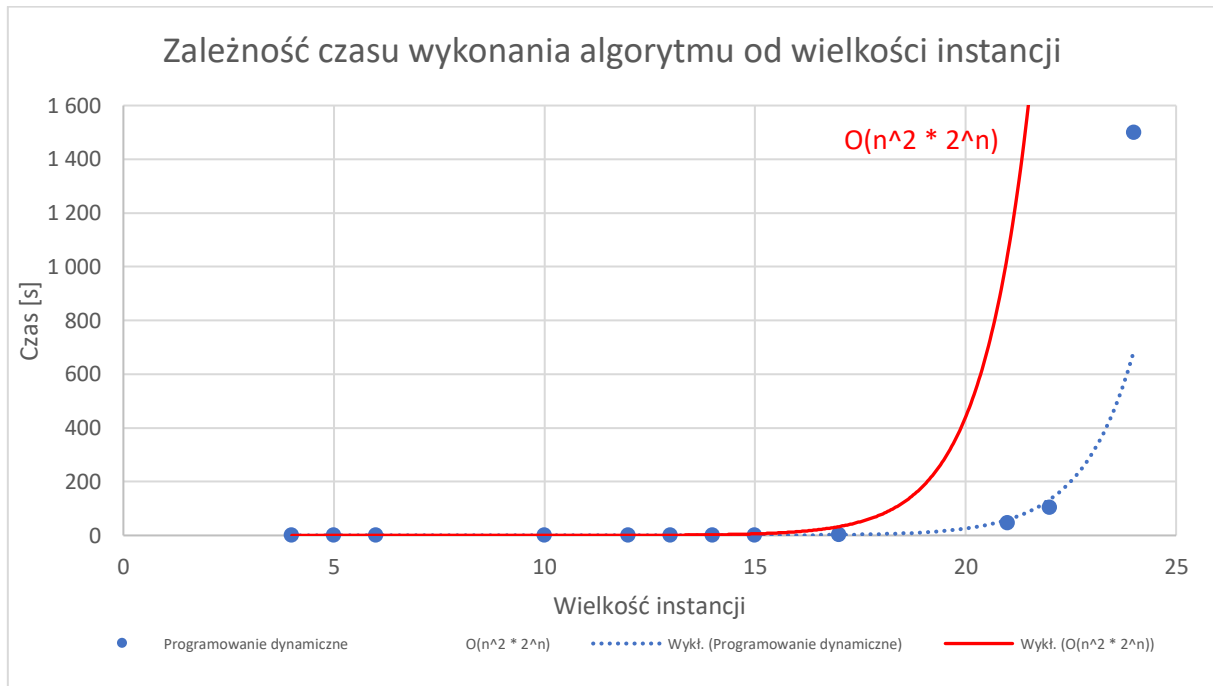
W funkcji *work()* przed i po uruchomieniu funkcji *held\_karp2()* mierzony jest czas za pomocą funkcji z biblioteki python'a *time*. Różnica zapisywana jest do pliku wyjściowego jako czas wykonania algorytmu dla zadanej instancji.

- **Metoda badania zużycia pamięci:**

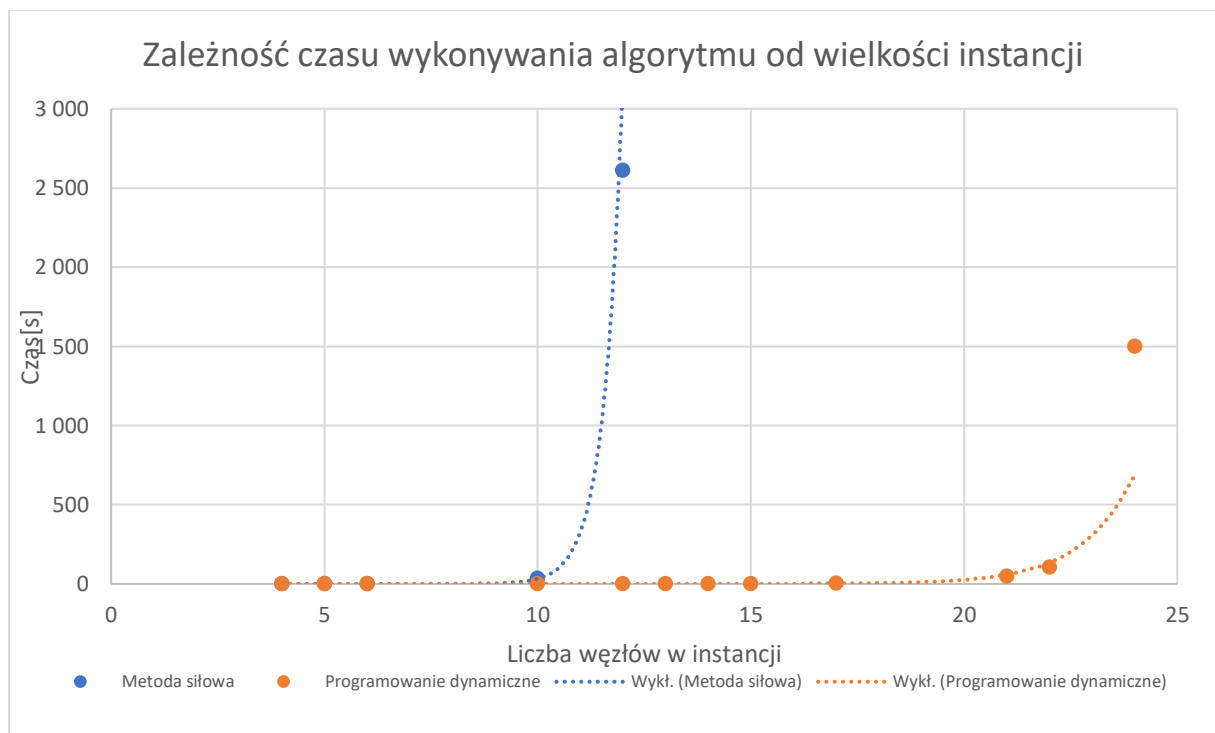
```
14 def memory():
15     w = wmi.WMI('.')
16     result = w.query("SELECT WorkingSet FROM Win32_PerfRawData_PerfProc_Process WHERE IDProcess=%d" % os.getpid())
17     return int(result[0].WorkingSet)
```

Rysunek 3. Metoda badania zużycia pamięci. Sprawdza pamięć zużywaną przez proces (działającą aplikację).

## 6. Wyniki

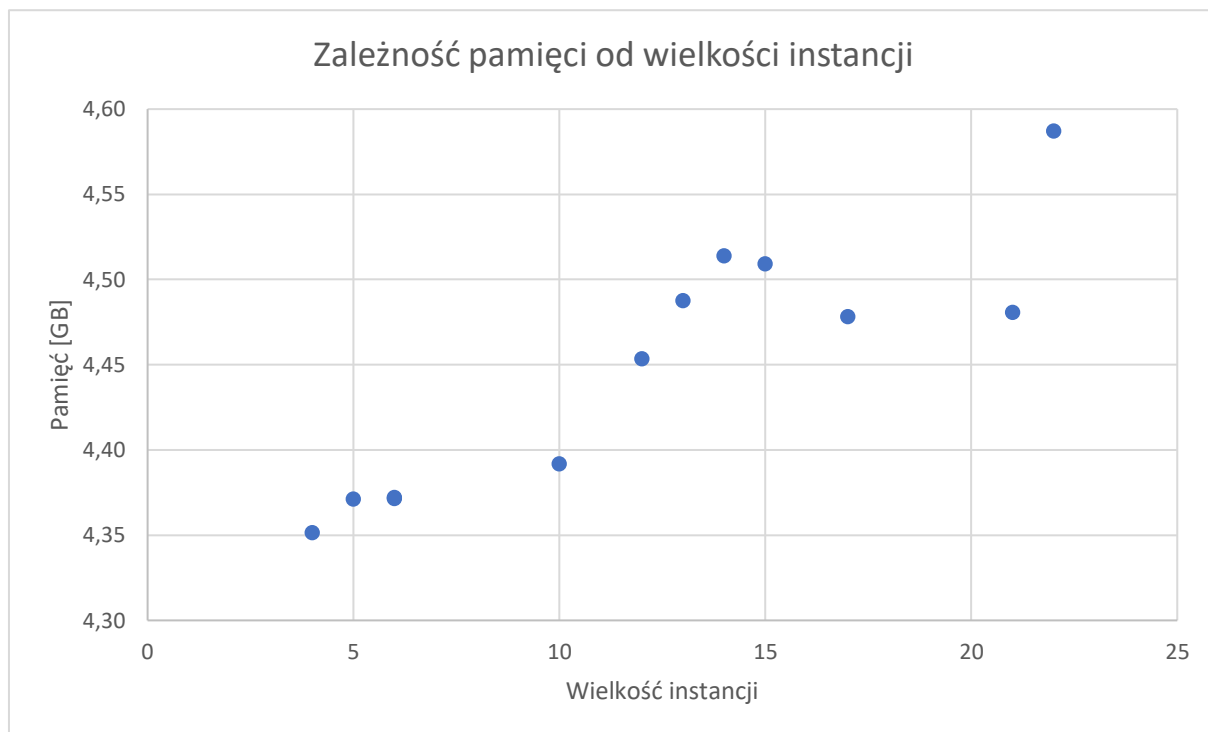


Rysunek 4. Zależność czasu pracy algorytmu w zależności od liczby węzłów instancji.



Rysunek 5. Porównanie czasu pracy algorytmu opartego na brute force i dynamic programming.





Rysunek 6. Zużycie pamięci w zależności od wielkości instancji ( Programowanie dynamiczne)

## 7. Analiza wyników i wnioski

Algorytm skonstruowany w oparciu o metodę programowania dynamicznego daje poprawne wyniki dla problemu komiwojażera i ma spodziewaną złożoność czasową  $O(n^2 2^n)$  (*Rysunek 4.*)

Złożoność pamięciowa (*Rysunek 6.*) zawiera znaczne fluktuacje na wykresie, co uniemożliwia przeprowadzenie jednoznacznej linii trendu. Jest to najprawdopodobniej spowodowane różnicami w poszczególnych instancjach. Widać jednak trend rosnący dla zużycia pamięci, co zgodne jest z rosnącym rozmiarem instancji.

Tak jak się spodziewano, złożoność czasowa algorytmu opartego o metodę programowania dynamicznego okazała się szybsza, niż algorytmu opartego na metodzie siłowej (*Rysunek 5.*).